

预测地下水电站坝体廊道温降的通道单元数学模型及其应用*

西安建筑科技大学 王易军[★] 李安桂[△]

国家电力公司昆明勘测设计研究院 钟 洋 张 辉

摘要 在通风网络的基础上,提出了简化的通道单元数学模型,与数值模拟方法的计算结果进行了对比,并以景洪水电站坝体廊道为例进行了分析,验证了该模型的有效性。

关键词 水电站 坝体廊道 温降 通风网络

Unit-basis mathematical model for predicting temperature drop in dam tunnel of underground hydropower stations and its application

By Wang Yijun[★], Li Angui, Zhong Yang and Zhang Hui

Abstract Based on the ventilation network theory, presents a simplified unit-basis mathematical model. Compares the result by the model with that by a numerical simulation method. With dam tunnel of Jinghong Hydropower Station as an example, analyses and proves validity of the model.

Keywords hydropower station, dam tunnel, temperature drop, ventilation network

[★] Xi'an University of Architecture and Technology, Xi'an, China

0 引言

我国的地下水电站无论是数量还是规模均为世界第一,主要分布在黄河水系和长江水系。水电站坝体廊道及地下隧道错综复杂,作为天然冷热源有很好的节能及环保意义,因而也受到了广泛的关注,国内外对等截面直线地下廊道的换热效果进行了大量研究^[1-4]。但是,地下水电站坝体廊道十分复杂,以景洪水电站为例,其坝体各类廊道纵横交错,帷幕灌浆、排水、检查、交通和观测廊道分别在不同的高程,每层之间专门设计了通风竖井相连接,造成各廊道通风换热的相互影响。前人进行了不同角度的研究,各文献提出的方法既有各自的优点,但也存在着一定的局限性。文献[5]的计算方法是按主要廊道的平均风量及平均廊道长度来计

算廊道通风的温降,这种方法未考虑廊道结构的影响,且无法确定各廊道空气温度分布。由于坝体廊道结构复杂、体积庞大,若采用直接数值模拟的方法,模型的建立较复杂,对计算机的要求也非常高。

本文在通风网络的基础上,提出了简化的通道单元数学模型,即先计算各廊道风量,用等效廊道长度的方法将通风网络和廊道通风温降的理论公式结合起来逐段计算各廊道温降,获得廊道群网络的温度分布。这种方法既考虑了廊道网络结构对通风温降的影响,同时计算模型大为简化,为水电站通风空调设计方案及地下隧道温降风的利用提

^{○★} 王易军,男,1978年7月生,硕士研究生

[△] 710055 西安市雁塔路13号 西安建筑科技大学环境与市政工程学院

(029) 82202507

E-mail: liag@zauat.edu.cn

收稿日期:2006-12-04

一次修回:2007-03-23

二次修回:2008-01-24

* 高等学校博士点基金(教技发中心函[2004]196号)和教育部新世纪优秀人才支持计划基金项目(编号:NCET-04-0970)资助

供参考。

1 坝体廊道温降的理论计算方法及数值模拟方法

1.1 理论计算方法

空气流经坝体廊道的过程中与各个不同的等温面进行换热,是一个十分复杂的不稳定换热过程。坝体廊道的温降计算可以应用地道风降温公式^[6]:

$$t_{x,\tau} = t_T + (t_0 - t_T) \exp\left(-\frac{KF}{c\rho G}\right) \quad (1)$$

其中

$$K = \frac{1}{\frac{1}{h} + \frac{1.13 \sqrt{\alpha_w \tau}}{\beta \lambda_w}} \quad (2)$$

$$h = 0.045 \frac{\lambda_f}{d_e} Re^{0.8} \quad (3)$$

$$\beta = 1 + 0.76 \frac{\pi}{U} \sqrt{\alpha_w \tau} \quad (4)$$

式(1)~(4)中 $t_{x,\tau}$ 为廊道进深 x 处空气温度, $^{\circ}\text{C}$; t_T 为坝体廊道壁体的原始温度, 22°C (此为景洪水电站参数); t_0 为坝体廊道进口处空气温度, 30.4°C (此为景洪水电站参数); K 为某一时刻的壁面热流强度即总传热系数, $\text{kJ}/(\text{m}^2 \cdot \text{h} \cdot {^{\circ}\text{C}})$; F 为换热面积, m^2 , $F=Ux$, 其中 U 为坝体廊道截面周边长度, m ; c 为干空气比热容, $\text{kJ}/(\text{kg} \cdot {^{\circ}\text{C}})$; ρ 为干空气密度, 1.165 kg/m^3 ; G 为廊道的总通风量, m^3/h ; h 为表面传热系数, $\text{kJ}/(\text{m}^2 \cdot \text{h} \cdot {^{\circ}\text{C}})$; α_w 为壁体材料的热扩散率, $0.00277 \text{ m}^2/\text{h}$; λ_w 为壁体材料导热系数, $5.57 \text{ kJ}/(\text{m} \cdot \text{h} \cdot {^{\circ}\text{C}})$; τ 为通风时间, h ; β 为形状修正系数; λ_f 为干空气导热系数, $0.09612 \text{ kJ}/(\text{m} \cdot \text{h} \cdot {^{\circ}\text{C}})$; d_e 为坝体廊道截面的当量直径, m , $d_e = \frac{4A}{U}$, 其中 A 为坝体廊道截面面积, m^2 ; $Re = \frac{\omega d_e}{\nu}$, 其中 ω 为廊道内的空气流速, m/s , ν 为干空气的运动黏度, $1.6 \times 10^{-5} \text{ m}^2/\text{s}$ 。

1.2 数值模拟方法、理论计算方法计算结果与实测数据的对比

文献[5]中的漫湾水电站坝体廊道截面为 $2.5 \text{ m} \times 3 \text{ m}$ (见图 1, 图为对称截面的 $1/2$ 个截面, 廊道截面 $1.25 \text{ m} \times 3 \text{ m}$, 壁厚 4 m), 建立长度 $L=500 \text{ m}$ (漫湾水电站坝体各主要廊道的平均长度为 500 m)的直线廊道模型, 入口风速 4.07 m/s (设计平均风速), $t_0=30^{\circ}\text{C}$ (夏季通风室外计算温度), $t_T=19$

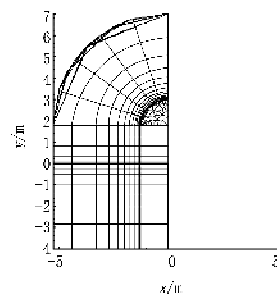


图 1 廊道截面网格划分图

$^{\circ}\text{C}$, 其他参数取值见 1.1 节符号说明。使用 Fluent 软件求解廊道的出风口空气温度, 与理论计算结果的对比见图 2, 漫湾水电站坝体廊道出风口的实测温度见表 1。

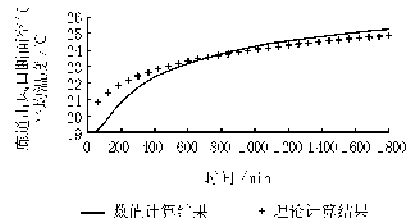


图 2 $L=500 \text{ m}$ 坝体廊道数值模拟与理论计算结果的对比

表 1 漫湾水电站坝体廊道通风实测数据 [5]

	5月	6月	7月	8月
室外气温/ $^{\circ}\text{C}$	34.6	25.6	30.5	31.5
坝体廊道出风口温度/ $^{\circ}\text{C}$	23.6	22.8	22.6	23.0
通风量/ $(10^5 \text{ m}^3/\text{h})$	4	4	4	4

从图 2 可见, 通风一定时间后数值模拟和理论计算结果趋于一致, 且出风口温度趋于稳定($\tau=20 \text{ h}$ 时, 出风口温度随时间变化小于 $0.1^{\circ}\text{C}/\text{h}$); 从表 1 可看出, 室外温度尽管变化很大, 一旦经过庞大复杂的坝体廊道网络降温处理, 温度都降到 $22\sim 23^{\circ}\text{C}$ 左右, 同时与数值模拟及理论计算结果相比较发现, 实测值都低于 $\tau=20 \text{ h}$ 时的数值模拟及理论计算值。

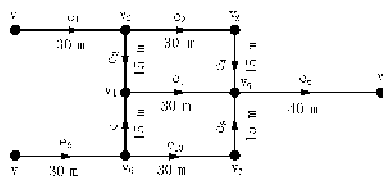
2 基于通风网络的廊道温降计算(简化通道单元数学模型)

2.1 通风网络模型

建立一个简单坝体廊道的通风网络模型, 廊道截面积 $2 \text{ m} \times 2 \text{ m}$, 结构简化为如图 3 所示的网络拓扑图, 廊道称为分支(如 $e_1\sim e_{10}$), 廊道交汇点称为节点(如 $v_1\sim v_7$)。

2.1.1 节点流量平衡方程组

在稳定流动过程中, 流入与流出某个节点的质量流量的代数和为零。如果通风网络图的节点数



整个廊道网络的空气温度分布。

2.3 网络法和数值模拟方法计算结果的对比

廊道通风入口风速为 $v=2 \text{ m/s}$ 和 $v=4 \text{ m/s}$ 时,各个时刻廊道出风口空气温度的网络法计算结果与数值模拟求解结果的对比如图 4 所示。

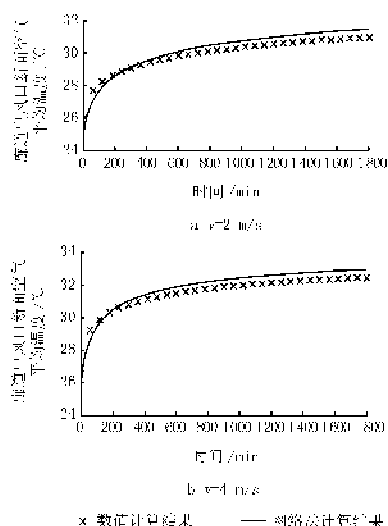


图 4 网络法与数值模拟方法计算结果的对比

从图 4 可见,网络法和数值模拟法的计算结果比较一致。从而证明,将廊道网络等效为直线廊道,基于通风网络法计算廊道通风温度分布是可行的。

3 简化通道单元数学模型应用举例

以景洪水电站坝体廊道(如图 5 所示)为模型,利用简化通道单元数学模型计算了廊道出风口空气温度,并与文献[5]计算方法(按水电站各主要廊道的平均风量及平均廊道长度根据式(1)来计算廊道通风的温降)的计算结果进行了对比,结果见图 6。从图 6 可见,景洪水电站坝体廊道网络的通风温降过程与平均廊道长度为 700 m 的直线廊道相近,通风温度低于平均廊道长度为 600 m 的直线廊道的理论计算值。从文献[5]漫湾水电站实测数

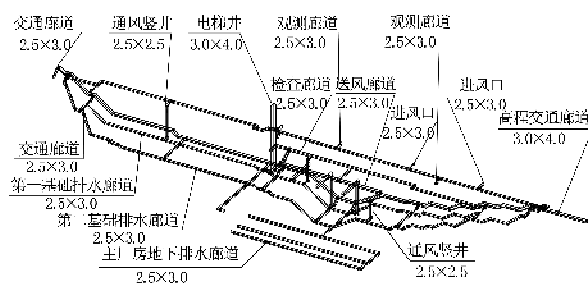


图 5 景洪水电站坝体廊道三维示意图

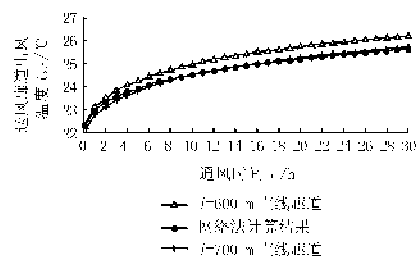


图 6 简化通道单元数学模型与文献[5]方法计算结果的对比

据可看出,漫湾水电站坝体廊道出风口空气温度实测值也比理论计算值约低 0.5~1.2 °C。因为景洪水电站和漫湾水电站的气候条件及物性参数都比较接近,通过与理论计算值的对比可见,简化通道单元数学模型的计算结果是合理的,是可以应用于工程设计的。

4 结论

本文提出了简化的通道单元数学模型,通过理论分析、实际算例证明了该方法的可行性。简化通道单元数学模型的实质是通过采用等效廊道长度的方法将通风网络和廊道温降理论计算公式结合起来计算坝体廊道网络机械通风换热效果,简化了数学模型,不但计算量比数值模拟方法大大减小,而且也可以获得廊道任意断面的温度。为坝体廊道和地下隧道温降风的利用提供了一种简化且具有较高精度的计算方法,为地下水电站的通风空调设计方案及隧道温降风的利用提供了有益参考。

参考文献:

- [1] Sharan G, Jadhav R. Performance of single pass earth-tube heat exchanger: an experimental study [R]. No 2003-01-07, IIMA Working Papers from Indian Institute of Management Ahmedabad, Research and Publication Department, 2003
- [2] Kartri M, Kreider J F. Analytical model for heat transfer in an underground air tunnel [J]. Energy Convers Mgmt, 1996, 37(2):1561-1574
- [3] Pfafferott J. Evaluation of earth-to-air heat exchangers with a standardized method to calculate energy efficiency[J]. Energy and Buildings, 2003, 35 (4):971-983
- [4] Mihalakakou G. On the heating potential of a single buried pipe using deterministic and intelligent techniques[J]. Renewable Energy, 2003, 28(6):917-927

(下转第 32 页)